

## أهمية تناظر الأحمال في محولات التوتّر وكيفية تحقيق ذلك

الدكتور جورج اسبر\*

(قبل للنشر في 1996/12/3)

### □ الملخص □

يؤدي تناظر الأحمال في محولات التوتّر إلى خفض الضياعات الكهربائية ومنه يمكن الاستغناء عن تركيب محولات توتّر إضافية لأنه يمكن استغلال استطاعة محولات التوتّر المركبة بالكامل بالإضافة إلى ذلك تقلل من خطأ القياسات وبالتالي يحسن شروط عمل الأجهزة الكهربائية والحمايات المربوطة مع محولات التوتّر. لقد تم في هذا البحث شرح الطريقة المقترحة رياضياً مدعومة ببعض الأمثلة التي تساعد في فهم هذه الطريقة.

---

\* أستاذ مساعد في قسم الطاقة الكهربائية - كلية الهندسة الميكانيكية والكهربائية - جامعة تشرين - اللاذقية - سورية.

## THE SYMMETRY IMPORTANCE OF LOAD IN THE VOLTAGE TRANSFORMERS AND THE WAY OF VERIFYING THAT

Dr. George ISBER\*

(Accepted 3/12/1996)

### □ ABSTRACT □

*The load symmetry of voltage transformers, leads to the electric power loss reduction. Therefore, we can not use additional voltage transformers, because we can use the complete compound power voltage transformers. This is because it leads to the measurements error reduction and rise the working condition of the electrical equipments and the connected protection with those voltage transformers. In this report we explain the suggested mathematical method supported with some examples that help in understanding it.*

---

\* Associate Professor at Electrical Energy Department, Faculty of Mechanical and Electrical Engineering, Tishreen University, Lattakia, Syria.

## 1- مقدمة:

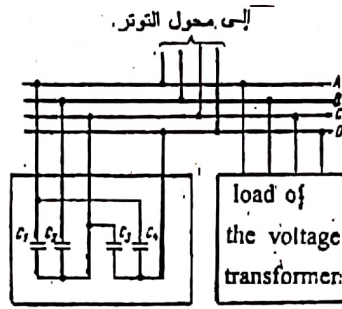
تُحدّد دقة محولات التوتّر من الطور الأكثر تحميلاً، لذلك فإن تناظر الأحمال في الأطوار يقلل من خطأ القياسات وبالتالي يحسن شروط عمل الأجهزة الكهربائية والحمايات المربوطة مع محولات التوتّر.

يؤدي تناظر الأحمال في أطوار محولات التوتّر إلى خفض الضياعات الكهربائية، وبالتالي نستغني عن تركيب محولات توتّر إضافية لأنه يمكن استغلال استطاعة محولات التوتّر المركبة بالكامل.

يظهر عدم التناظر بشكل كبير في محولات التوتّر 6-20 ك.ف، حيث القسم الأعظم من الأحمال هي ملفات أجهزة قياس الطاقة الفعلية المربوطة طورياً بين  $U_{BC}$ ,  $U_{AB}$ ، ولأجل تناظر الأحمال في محول التوتّر فإننا نقسمه إلى ثلاثة قطاعات متساوية تربط إلى كل قطاع أجهزة قياس مختلفة لكي تكون محصلة الأحمال متناظرة ولكن هذه الطريقة صعبة الاستثمار وغير مناسبة.

ينتج عدم تناظر تيارات الأحمال في محولات التوتّر عن وجود مركبات التناظر لتيار التتابع الصفري والعكسي. تُربط أحمال محولات التوتّر 6-20 ك.ف بشكل عام على التوتّر الخطي، وفي أكثر الأحيان يربط مقياس فولت واحد لمراقبة العازلية على التوتّر الطوري. إن عدم تناظر تيارات الحمل يتحدد من مركبة تيارات التتابع العكسي، وحسب القياسات التي تمت لتيارات الأحمال في ستة محولات توتراتها 6 ك.ف تبين أن تيارات التتابع العكسي للأحمال تشكل من 14-56% من القيم الطورية للتيارات [1].

يمكن ملاحظة تيارات التتابع الصفري في محولات التوتّر 110 ك.ف وأحياناً في محولات التوتّر (20-35) ك.ف وهذا ناتج من استخدام أجهزة حماية. أظهرت نتائج القياسات في مجموعة من محطات التحويل أن التيار في الناقل الصفري لمحول توتر 110-220 ك.ف يمكن أن يصل إلى 10-15% من التيارات الطورية للأحمال وبالتالي يؤثر هذا على عدم التناظر في التيارات، لذلك سوف نقوم بتحليل حالة عامة لحمل غير متناظر في محول التوتّر [2].



شكل (1): دائرة التناظر المربوطة مع محول التوتر.

يبين الشكل رقم (1) دائرة متناظرة مؤلفة من أربع مكثفات اثنتان مربوطتان على توتر طوري واثنتان على توتر خطي.

## 2- إيجاد الدارة المكافئة:

تقوم المكثفات المربوطة على توتر طوري بتعويض تيارات التتابعات الصفرية والعكسية، يوضح الشكل رقم (2) المخطط الشعاعي اللازم لاختيار التيارات التعويضية للتتابعات الصفرية (a) والعكسية (b). أما المكثفات المربوطة على توتر خطي فتقوم بتعويض تيار التتابع العكسي للحمل.

تختار سعات المكثفتين الأوليتين بشكل يكون فيهما تيار التتابع الصفري مساوياً لتيار التتابع الصفري للحمل. وكذلك تختار سعات المكثفتين التاليتين بشكل يكون فيهما تيار التتابع العكسي مساوياً لتيار التتابع العكسي للحمل.

من المفضل اختيار وتحديد أطوار ربط المكثفات التعويضية بشكل بياني تحليلي، حيث في البداية نحسب سعة المكثفات لأجل تعويض مركبة التتابع الصفري، لهذا نرسم المخطط الشعاعي شكل (a-2)، حيث يوضح عليه اتجاهات تيارات التتابع الصفري  $I_0^A, I_0^B, I_0^C$  الناتجين عن ربط المكثفات التعويضية المطابقة للتوترات الطورية  $U_A, U_B, U_C$  حيث واضح من الشكل (a-2) كيف تقسم الدائرة المشكلة إلى ثلاثة قطاعات I, II, III ثم نرسم على المخطط الشعاعي تيار التتابع الصفري للحمل  $I_0^H$ . إن تعويض التيار  $I_0^A$  يقع في القطاع الأول ويتم بوساطة المكثفات المربوطة على التوتر  $U_B, U_C$ . لأجل القطاع II تربط المكثفات على التوتر  $U_A, U_B$ . بعد ذلك توجد قيمة التيار المعوض للمكثفات، وكما واضح من الشكل رقم (2) فإن شعاع تيار التتابع الصفري للحمل  $I_0^H$  ينقسم إلى شعاعين  $I_0^A, I_0^C$ ، فعند وصل المكثفات على التوتر الطوري فإن تيار مركبة التتابع الصفري يُحسب كما يلي:

$$I_0 = \frac{U \omega C}{3\sqrt{3}}$$

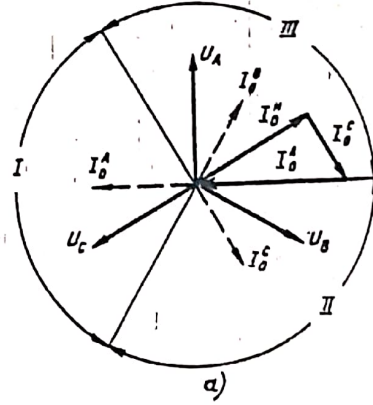
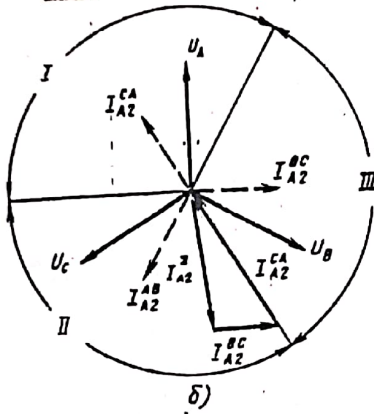
حيث:

U: التوتر الخطي للشبكة (فولت)،

$\omega$ : السرعة الزاوية.

من هنا نحسب السعة التعويضية:

$$C_A = \frac{3\sqrt{3}I_0^A}{U \omega}, \quad C_c = \frac{3\sqrt{3}I_0^c}{U \omega}$$



شكل (2): المخطط الشعاعي لاختيار معوضات المركبة (a) الصفرية (B) العكسية.

وبشكل مشابه وبمساعدة المخطط الشعاعي الشكل رقم (B-2)، نجري اختيار المكثفات لأجل تعويض تيارات التتابع العكسي، نرسم على هذا المخطط أشعة منقطة تعبر عن اتجاهات تيارات التتابع العكسي للطور A:  $I_{A2}^{CA}, I_{A2}^{BC}, I_{A2}^{AB}$  الناشئة من ربط مكثفات معوضة على التوترات الخطية  $U_{A2}^{CA}, U_{A2}^{BC}, U_{A2}^{AB}$  بعد ذلك ولأجل الطور A نحسب المحصلة الهندسية لتيارات التتابع العكسي للحمل. وكذلك تيارات التتابع العكسي لمكثفات التعويض المربوطة على التوتر الطوري ثم نوجد شعاع  $I_{A2}^{\Sigma}$  وكما واضح يقع هذا الشعاع في القطاع الأول، ولأجل تعويضه من الضروري ربط مكثفات على التوتر  $U_{BC}, U_{AB}$  أما لأجل القطاع II تربط المكثفات التعويضية على التوتر.  $U_{CA}, U_{BC}$  وللقطاع III تربط المكثفات على التوتر  $U_{AC}, U_{AB}$ . وفي مثالنا يكون التيار  $I_{A2}^{\Sigma}$  متوضعا في القطاع الثاني II ولأجل تعويضه فإن المكثفات يجب أن تربط على التوتر  $U_{CA}, U_{BC}$ .

إذا مر تيار  $I$  بالمكثف المربوط على التوتر الخطي، فإن التيار الطوري للتتابع العكسي يكون  $I_2 = I/\sqrt{3}$  ومنه فإن:

$$C_{BC} = \frac{\sqrt{3}I_{A2}^{BC}}{U.\omega}; \quad C_{CA} = \frac{\sqrt{3}I_{A2}^{CA}}{U.\omega}$$

مثال 1: المطلوب اختيار الحمل في أطوار محول التوتّر من نوع HTMN-6، الذي يعمل في مجال الدقة (1)، الأحمال هي مقاييس استطاعة: الحمل الخطي 60% والردي 40%، لأجل تفريغ محول التوتّر من التيار الردي، واستثماره بشكل كامل على التوتّر الخطي، من الضروري ربط مكثفات لتعويض تياره الردي بالكامل، بعد ذلك نحسب تيار الحمل الكامل كما يلي (المبير):

$$i_A = 0.591e^{j104^\circ} = -0.142 + j0.574;$$

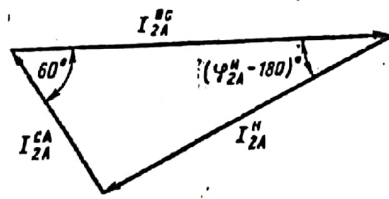
$$i_B = 0.820e^{-j30^\circ} = 0.710 - j0.410;$$

$$i_C = 0.591e^{j196^\circ} = -0.568 + j0.164.$$

تيار التابع الصفري للحمل يساوي إلى الصفر، أما تيار التابع العكسي للحمل فهو:

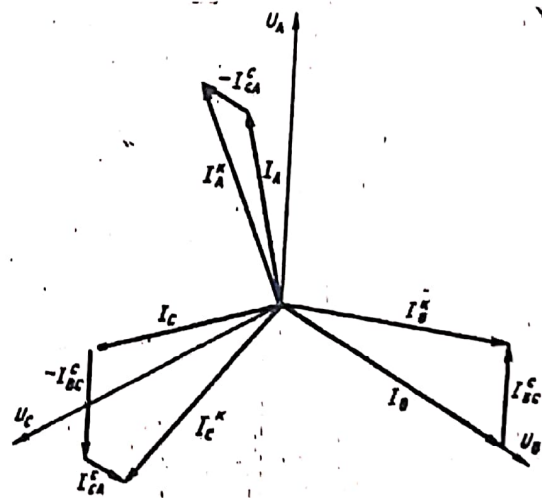
$$I_{2A}^H = \frac{1}{3}(i_A + i_B e^{j240^\circ} + i_C e^{j120^\circ}) = \frac{1}{3}(0.591e^{j104^\circ} + 0.82e^{-j30^\circ} e^{j240^\circ} + 0.591e^{j196^\circ} e^{j120^\circ}) = 0.164e^{j210^\circ}$$

تيار الشعاع  $I_{2A}^H$  متوضع في قطاع II، حيث يقوم بتعويض التيارات عن طريق ساعات المكثفات المربوطة على التوتّر  $U_{BC}$ ،  $U_{CA}$  إذ ينقسم شعاع تيار  $I_{2A}^H$  إلى الأشعة  $I_{2A}^{CA}$ ،  $I_{2A}^{BC}$  شكل (B-2) ومن مثلث تلك الأشعة شكل رقم (3)، نحسب تيارات التتابعات العكسية لمكثفات التعويض:



شكل (3): المخطط الشعاعي لتعويض تيارات التتابع

العكسي



شكل (4): المخطط الشعاعي لتناظر الحمل للمحول

TH-6 KV

$$I_{2A}^{BC} = I_{2A}^H [\cos(210^\circ - 180^\circ) + \sin(\varphi_{2A}^H - 180^\circ) \operatorname{ctg} 60^\circ] =$$

$$= 0.164 [\cos(210^\circ - 180^\circ) + \sin(210^\circ - 180^\circ) \operatorname{ctg} 60^\circ] = 0.189A;$$

$$I_{2A}^{CA} = I_{2A}^H \frac{\sin(\varphi_{2A}^H - 180^\circ)}{\sin 60^\circ} = 0.164 \frac{\sin(210^\circ - 180^\circ)}{\sin 60^\circ} = 0.0947A.$$

أما سعة المكثفات التعويضية فتساوي:

$$C_{BC} = \frac{\sqrt{3}}{U \cdot \omega}$$

$$C_{BC} = \frac{\sqrt{3} I_{A2}^{BC} \cdot 10^6}{U \cdot \omega} = \frac{\sqrt{3} \cdot 0.189 \cdot 10^6}{100.314} = 10.4 \text{MKF};$$

$$C_{CA} = \frac{\sqrt{3} I_{A2}^{CA} \cdot 10^6}{U \cdot \omega} = \frac{\sqrt{3} \cdot 0.0947 \cdot 10^6}{100.314} = 5.2 \text{MKF}.$$

نحسب التيارات الطورية التعويضية لمحور التوتر، عن طريق  $I_{CA}$ ،  $I_{BC}$  والمكثفات:  $C_{CA}$ ،  $C_{BC}$ .

$$\dot{I}_{BC} - \dot{U}_{BC} \omega C_{BC} e^{j90^\circ} \cdot 10^{-6} = 100.314 \cdot 10.4 e^{j90^\circ} \cdot 10^{-6} =$$

$$0.327 e^{j90^\circ} = j0.327A;$$

$$\dot{I}_{CA} = \dot{U}_{CA} \omega C_{CA} e^{j90^\circ} \cdot 10^{-6} = 100 e^{j240^\circ} \cdot 5.2 e^{j90^\circ} \cdot 10^{-6} =$$

$$0.163 e^{j330^\circ} = 0.141 - j0.0815.$$

نحسب التيارات التعويضية لمحور التوتر TH.

$$\dot{I}_A^K = \dot{I}_A - \dot{I}_{CA} = (-0.142 - j0.574) - (0.141 - j0.0815) =$$

$$-0.283 + j0.655 = 0.713 e^{j113^\circ};$$

$$\dot{I}_B^K = \dot{I}_B - \dot{I}_{BC} = (0.710 - j0.410) + j0.327 = 0.710 - j0.914 e^{-j7^\circ};$$

$$\dot{I}_C^K = \dot{I}_C - \dot{I}_{CA} = (-0.568 - j0.164) + (0.141 - j0.0815) - j0.327 =$$

$$-0.427 - j0.573 = 0.714 e^{j233^\circ}.$$

من المثال والمخطط الشعاعي شكل رقم (4) واضح أن الحمل المعوض لمحور التوتر أصبح متزناً وأن الطور الأكثر تحملاً قد قل بمقدار

$$\frac{0.82 - 0.714}{0.82} \cdot 100 = 13\%$$

مثال (2): احسب كمية الطاقة الكهربائية الموفرة بعد إجراء تناظر الأحمال في محلول التوتر حسب المثال الأول؛ الممانعة الطورية لمحور التوتر HTMN-6، منسوب إلى جهة التوتر المنخفض (أوم)

$$Z = 0.83 e^{j31.2^\circ} = 0.71 + j0.43$$

قيمة زاوية الحمل عند المستهلك  $\varphi = 25.8^\circ$  نحسب هبوط التوتر النسبي الناتج عن ممانعة محور التوتر ومن تيارات المكثفات التعويضية (%):

$$\Delta \dot{U}_A = \frac{Z_{TH}(-i_{CA})}{\dot{U}_A} \cdot 100 = \frac{\sqrt{3} \cdot 0.83 e^{j31.2^\circ} (-0.163 e^{j330^\circ})}{100 e^{j90^\circ}} \cdot 100 =$$

$$= -0.234 e^{j271.2^\circ} = -0.021 + j0.234$$

$$\Delta \dot{U}_B = \frac{Z_{TH}(-i_{BC})}{\dot{U}_B} \cdot 100 = \frac{\sqrt{3} \cdot 0.83 e^{j31.2^\circ} \cdot 0.327 e^{j90^\circ}}{100 e^{-j30^\circ}} \cdot 100 =$$

$$= -0.412 + j0.226;$$

$$\Delta \dot{U}_C = \frac{Z_{TH}(-i_{BC})}{\dot{U}_C} \cdot 100 = \frac{\sqrt{3} \cdot 0.83 e^{j31.2^\circ} (0.163 e^{j330^\circ} - 0.327 e^{j90^\circ})}{100 e^{j210^\circ}} \cdot 100 =$$

$$= 0.621 e^{j20.2^\circ} = -0.312 + j0.537$$

إن هبوط التوتر في محول التوتر الناتج من تيارات المكثفات التعويضية، يرفع التوتر على مآخذ العدادات ويقلل الزاوية بين التيار والتوتر. نحسب التغير في الطاقة:

$$\Delta \varepsilon = \Delta \varepsilon_u + \Delta \varepsilon_\varphi$$

حيث:

$\Delta \varepsilon_u$ : التحول في الحساب الناتج من هبوط التوتر الطولاني  $\Delta \varepsilon_{np}$ ،

$\Delta \varepsilon_\varphi$ : التحول في الحساب الناتج من هبوط التوتر العرضاني  $\Delta \varepsilon_{non}$ ، والمسبب في تغير الزاوية بين التيار والتوتر على العداد بمقدار  $\Delta \varphi$ .

في الواحدات النسبية:  $\Delta \varepsilon = -\Delta U_{np}$ .

نعبر عن  $\Delta \varepsilon_\varphi$  بالعلاقة التالية:

$$\Delta \varepsilon = \frac{\cos(\varphi - \Delta \varphi) - \cos \varphi}{\cos \varphi} \cdot 100\%$$

$$\Delta \varphi = \text{arctg} \frac{\Delta U}{100}$$

حيث بالنسبة لحالتنا فإن:

$$\Delta \varphi_A = \text{arctg} \frac{0.234}{100} = 0.134^\circ,$$

$$\Delta \varphi_B = \text{arctg} \frac{0.266}{100} = 0.129^\circ;$$

$$\Delta \varphi_C = \text{arctg} \frac{0.537}{100} = 0.310^\circ$$

$$\Delta \varepsilon_{\varphi A} = \frac{\cos(25.8^\circ - 0.134^\circ) - \cos 25.8^\circ}{\cos 25.8^\circ} \cdot 100\% = 0.112\%;$$

$$\Delta \varepsilon_{\varphi B} = \frac{\cos(25.8^\circ - 0.129^\circ) - \cos 25.8^\circ}{\cos 25.8^\circ} \cdot 100\% = 0.109\%;$$

$$\Delta \varepsilon_{\varphi C} = \frac{\cos(25.8^\circ - 0.31^\circ) - \cos 25.8^\circ}{\cos 25.8^\circ} \cdot 100\% = 0.26\%.$$



إذا فرضنا أن الحمل على الأطوار متزن فإن التحول في الحساب يجري كما يلي:

$$\begin{aligned}\Delta \varepsilon &= \frac{A \varepsilon_{UA} + \Delta \varepsilon_{UB} + \Delta \varepsilon_{UC}}{3} + \frac{\Delta \varepsilon_{\varphi A} + A \varepsilon_{\varphi B} + \Delta \varepsilon_{\varphi C}}{3} = \\ &= \frac{0.21 + 0.214 + 0.312}{3} + \frac{0.112 + 0.109 + 0.260}{3} = \\ &= 0.248 + 0.160 = 0.408\%\end{aligned}$$

إن الخطأ السلبي في حساب الطاقة الكهربائية، ناتج من هبوط التوتر في محول التوتر من جراء تيار قبل الموازنة مساوٍ إلى  $-0.589\%$ ، بعد الموازنة بين أحمال الأطوار يكون الخطأ كبيراً ويصبح مساوياً  $(-0.589 + 0.408 = -18\%)$ .

من هنا واضح أن الحل الرياضي المقترح يسهل وضع برنامج على الحاسوب تستطيع بواسطة معطيات أشعة تيارات الأحمال لمحول التوتر ويعطينا استطاعة المكثفات التي يمكن ربطها مع الأطوار لتوازن بينهم.

يتغير حمل محول التوتر في خلال فترة استثماره مما يستدعي إعادة النظر في استطاعة مكثفات التعويض لذلك وللتسهيل فقد تم وضع جدول رقم (1) يسهل عملية الحساب مع الأخذ بعين الاعتبار مثل تلك الحالات:

الحمل	نوع الوصل	المكثف		MKF
		AB	BC	CA
مقياس الطاقة الفعلية	AB, BC	1.21	1.66	-
مقياس الفولت	CA	0.402	-	0.201
مقياس الاستطاعة	AB, BC	0.146	-	0.07
ريلبي ترددية	CA	0.878	-	0.43
بلوك تغذية ريلبي الترددية	CA	2.65	-	0.40
ريلبي التوتر (في مجالات 40-80 فولت)	CA	0.450	-	0.225

جدول (1)

إن تصنيع مثل هذه الدارة لأجل توازن (تناظر) الاستطاعة على محول التوتر يؤدي إلى توفير كمية كبيرة من الطاقة تتعلق بنسبة عدم التناظر بين الأطوار.

## النتائج:

- 1- إن دارة تناظر الأحمال، المؤلفة من أربع مكثفات يمكن أن تعوض أي حمل غير متناظر في محول التوتر الثلاثي الأطوار.
- 2- إن مكثفات تناظر الأحمال في محولات التوتر تقلل الضياعات في الطاقة الكهربائية (الناجمة من القراءات غير الصحيحة والناجمة بدورها من عدم تناظر الأحمال).
- 3- إن مكثفات تناظر الأحمال تسمح لنا باستخدام كامل استطاعات محولات التوتر.

## REFERENCES

المراجع

- [1]- Instruktsi po praverki (TH) 1 Ikh Ftorichnikh Tsepey M.: Saios inergo. 1979.
- [2]- Trub I.I. Obslugivanie induktsionnikn shotchkov I Tsepey Utchota F Elektrs ustanovkh. M.: Lnerga Isdat. 1989.